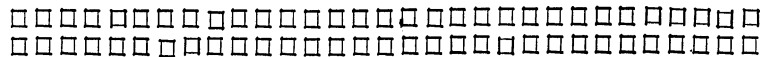


量子力學

魏弘毅



古典力學

在古典力學(牛頓力學, Maxwell電磁理論)裏, 一個質點的動量和位置, 可以很精確地測出來。在古典力學的運動方程式中, 質點位置和動量, 能量, 是時間的函數, 我們可由已知的條件, 得知一個質點的運動行徑, 能量的大小。但在量子力學裏, 我們就無法利用任何精確的測量方法, 同時精確測知一個質點的位置和動量, 也無法在某一時間, 準確測知質點所帶能量的大小。依照Heisenberg's 測不準原理 (Uncertainty principle), 位置 (Δx) 與動量 (Δp) 互補, 能量 (ΔE) 與時間 (Δt) 互補, 我們若要同時測定質點的位置和動量, 則其精確度有一極限值, 即 $\Delta x \Delta p$ 和 $\Delta E \Delta t$ 不能小於 h ($=\frac{h}{2\pi}$, h 為

Planck's constant $= 6.6252 \times 10^{-27}$ erg-sec)。我們所能測出的, 僅是統計的數值 (Statistical Probability) 而已。但由 Bohr 之 Correspondence Principle 我們可知, 當所討論的變數遠大於 h , 或 $h \rightarrow 0$ 時, 量子力學所得的結果, 當與古典力學的結果相同, 因此我們可認為古典力學是量子力學的極限 [如相對力學也以古典力學為極限 ($v \ll c$)] , 但是仍有些出入。現在讓我們來討論以上所述二者的關係, 相似和相異之處。

本世紀初, 由於黑體輻射, 光電效應, 原子光譜分析的實驗結果, 注定古典力學在原子範圍的死亡, 量子論為解釋此現象, 乃假定能量是以一束一束如砲彈發射出去, 而非以波動連續的狀態傳播。其能量的大小, 與頻率成正比, $E = h\nu$ (E , energy, h = Planck's Constant, ν = frequency)

1924 年由於電子幽靈狀的行徑, De Broglie 又假定電子帶有波動的性質, 而導致二元論和輝煌的量子力學 (波動力學 Wave Mechanics 與矩陣力學 Matrix Mechanics) 他假定一個動量 P 的質點帶有 λ 波長的物質波, 其關係為 $\lambda = \frac{h}{p}$, 一羣波長相近的波, 互相加強或干涉, 構成的波束 (Wave Packet), 就像質點一樣的運動, 其運動的速度是以羣速度 (group

velocity) $v = \frac{d\omega}{dk}$ 表之, ($k = \frac{2\pi}{\lambda}$ wave number, $\omega = 2\pi\nu$)

Schrödinger 依照此假定, 與波的重疊原理 (Superposition Principle) 和境界條件 (boundary Condition) 導出一條能適合測不準原理的運動方程式

$$-\frac{\hbar^2}{2m} \nabla^2 \psi + V\psi = i\hbar \frac{\partial \psi}{\partial t} \quad (1)$$

$\psi = \psi(x, y, z, t)$ 波函數 (wave function)

V 為位能

此式與古典的 Maxwell's equation

$$\frac{\partial^2 \psi}{\partial x^2} = c^2 \frac{\partial^2 \psi}{\partial t^2} \quad (2)$$

很像, 以下, 我們由此舉例討論兩者的相似, 相異點及其關係。

A. 設 V 非時間函數, $V = V(r)$

則 $\psi(r, t) = u(r)f(t)$ (1) 式可化成

$$-\frac{\hbar^2}{2m} \nabla^2 \psi + V\psi = E\psi \quad (3)$$

(E 為適合此式之 eigenvalue, 在此表示質點所帶的能量)

$$f(t) = \exp\left(-\frac{iE}{\hbar}t\right)$$

(3) 式中 E 值, 是為不連續的特定值, 每個 E_n 就有一 $u_n(r)$ (eigenfunction) 故全波應為各波的組合

$$\Psi = \sum_{n=1}^{\infty} a_n \psi_n(r, t) = \sum_{n=1}^{\infty} a_n \exp\left(-\frac{iE_n t}{\hbar}\right) u_n(r) \quad (4)$$

其次再看二式之解

$$\Psi(r, t) = \sum_{n=1}^{\infty} a_n \cos(2\pi v_n t) u_n(r) \quad (5)$$

(4) 式中對於特定之 $V(x)$ ，則其解為

$$Q: \Psi(x, t) = \sum_{n=1}^{\infty} a_n \exp\left(-\frac{iE_n t}{\hbar}\right)$$

$$\exp(-ik_n x)$$

$$a_n = \int_{-\infty}^{\infty} u_n^*(x') \Psi(x', 0) dx'$$

$$\therefore \Psi(x, t) = \sum_{n=1}^{\infty} \left[\int_{-\infty}^{\infty} u_n^*(x') \Psi(x', 0) \right.$$

$$\left. dx' \right] \exp\left(-\frac{iE_n t}{\hbar}\right) \exp(-ik_n x) \quad (6)$$

於古典力學中，若有一條不能伸張的繩兩端固定於 $-\frac{a}{2}$ ， $\frac{a}{2}$ ，張力為 T ，則(6)式之解為

$$C: \psi(x, t) = \sum_{n=1}^{\infty} \frac{\int_{-\frac{a}{2}}^{\frac{a}{2}} u_n(x') \Psi(x', 0) dx'}{\int_{-\frac{a}{2}}^{\frac{a}{2}} [u_n(x')]^2 dx'}$$

$$\cos(2\pi v_n t) u_n(x) \quad (7)$$

$$\cos \frac{n\pi x}{a} \quad n = \text{odd.}$$

$$u_n(x) =$$

$$\sin \frac{n\pi x}{a} \quad n = \text{even.}$$

$$v_n = \frac{n}{2a} \sqrt{\frac{T}{\rho}}, \quad \rho \text{ 為繩子單位質量}$$

比較(6),(7)兩式可知兩式很相似但仍有些分別：

1. (6)式中為複數形式，(7)式為實值，因此，在量子力學中，必須給波函數 $\Psi(x, t)$ 和，其所量子化的質點一個力學上的定量，即在某時刻 t ，要測定質點於 x ，之或然率可以 $\psi^*(x, t) \psi(x, t)$ 表之

$$P(x, t) = \psi^*(x, t) \psi(x, t) = |\psi(x, t)|^2 \quad (8)$$

此值恆為實值，又由於質點在 $-\infty$ ，與 ∞ 之間被測知的或然率應等於1 故

$$\int_{-\infty}^{\infty} \Psi^*(x, t) \Psi(x, t) dx = 1 \quad (9)$$

此式為量子力學之主要概念叫 Normalization.

$$\text{於(7)式中} \quad \int_{-\frac{a}{2}}^{\frac{a}{2}} \Psi^*(x, t) \Psi(x, t) dx = 1 \quad (10)$$

2. 兩式皆有正交性質 (orthogonal property)

$$Q: \int_{-\infty}^{\infty} \psi_n^*(x) \psi_l(x) dx = \delta_{nl}$$

$$\delta_{nl} = \begin{cases} 1 & n=l \\ 0 & n \neq l \end{cases} \quad (11)$$

$$C: \int_{-\frac{a}{2}}^{\frac{a}{2}} \psi_n^*(x) \psi_l(x) dx = \delta_{nl} \quad (12)$$

即在兩個不同的能位，其所對應的波函數亦不同。

其次，我們再來討論量子力學和古典力學的對應關係，對於許多次的測量，所得的平均值，即或然論中的期望值 (expectation value) $\langle Q \rangle$

$$= \int_{-\infty}^{\infty} \psi^* Q \psi d\tau \quad Q \text{ 為運算子 (operator)} \quad (13)$$

$$\text{如質點在 } X \text{ 軸的平均值 } \langle X \rangle = \int_{-\infty}^{\infty} \psi^* X \psi d\tau \quad (14)$$

$$\text{平均位能 } \langle V \rangle = \int_{-\infty}^{\infty} \psi^* V \psi d\tau \quad (15)$$

$$\text{若(14)式對 } t \text{ 微分} \quad \frac{d}{dt} \langle x \rangle = \frac{1}{m} \langle P_x \rangle$$

$$\langle P_x \rangle = \int_{-\infty}^{\infty} \psi^* \left(-i\hbar \frac{\partial}{\partial x} \right) \psi d\tau \quad (16)$$

$$\text{微分(16)式} \quad \frac{d}{dt} \langle P_x \rangle = \left\langle -\frac{\partial V}{\partial x} \right\rangle \quad (17)$$

由(1)式之運算子對應關係可知。

$$\left\langle i\hbar \frac{\partial}{\partial t} \right\rangle = \left\langle -\frac{\hbar^2}{2m} \nabla^2 \right\rangle + \langle V \rangle$$

$$\text{即} \quad \langle E \rangle = \left\langle \frac{p^2}{2m} \right\rangle + \langle V \rangle \quad (18)$$

線觀 (16), (17), (18), 三式實完全與古典力學相像，更證明兩者不可分離的關係。

更進一步的，我們來討論兩者概念上最主要的區別。量子力學有兩個最主要的特質 1. 適合重疊原理。2. 受到測不準原理的限制，其力學變數以或然率形式表之。然而在古典力學裡，並不受到第二條的限制，我們若要是由量子力學變到古典力學，則須令第二條性質，到可忽略的程度，使或然率分佈的曲線，變成非常狹窄。然而，這樣就抵觸了第一條的性質，讓我們從兩者數學的關係討論之。

由(1)式 Schrödinger equation

$$-\frac{\hbar^2}{2m} \nabla^2 \psi + V\psi = i\hbar \frac{\partial \psi}{\partial t}$$

討論單一質點的運動。令 $\psi = R \exp\left(-\frac{iS}{\hbar}\right)$

$$R, S, \text{ 為實函數} \quad (19)$$

$$\text{則} \quad \frac{\partial R}{\partial t} = -\frac{1}{2m} [R \nabla^2 S + 2 \nabla R \cdot \nabla S] \quad (20)$$

$$\frac{\partial S}{\partial t} = -\left[\frac{(\nabla S)^2}{2m} + V(x) - \frac{\hbar^2}{2m} \frac{\nabla^2 R}{R} \right] \quad (21)$$

令 $P = R^2(r)$ P 為或然率密度 (probability density) $= |\psi(r, t)|^2$

$$\text{則(20)式成 } \frac{\partial \mathbf{p}}{\partial t} + \frac{1}{m} \nabla \cdot (\mathbf{p} \nabla S) = 0 \quad (22)$$

此式與流體力學裡的連續方程式 (equation of continuity) 相似, $\frac{\nabla S}{m} = \mathbf{v} \quad \frac{\partial \mathbf{p}}{\partial t} + \nabla \cdot$

($\mathbf{v} \mathbf{p}$) = 0, $\mathbf{v} \mathbf{p}$ 表示質點的或然通量 (probability flux) 正如流體力學表示質點不能生滅。

(20)式中, 若令 $\hbar \rightarrow 0$, 則成

$$-\frac{\partial S}{\partial t} = \frac{1}{2m} (\nabla S)^2 + V \quad (23)$$

此式即古典的 Hamilton-Jacobi 方程式。因此有人假定, 一質點除受 V 外, 更受另一種位能 V_q 的影響, V_q (Quantum Mechanical potential)

$$V_q = -\frac{\hbar^2}{2m} \frac{\nabla^2 R}{R} = -\frac{\hbar^2}{4m} \left[\frac{\nabla^2 \mathbf{p}}{\mathbf{p}} - \frac{(\nabla \mathbf{p})^2}{\mathbf{p}^2} \right] \quad (24)$$

所以, 我們假定於(20)式中令 $V_q = 0$, 則量子力學可變成古典力學, 然而事實上不可能。為簡便計, 假定質點在一度空間裏運動。則(1)式解 $\psi_1 = A \exp$

$$[i(kx - \omega t)] = B \exp[i(\frac{\mathbf{p}}{\hbar} x - \frac{\mathbf{p}^2 t}{2m\hbar})] \quad (25)$$

此式顯然適合(1)式及(23)式。同樣 $\psi_2 = B \exp$

$$[-\frac{i}{\hbar} (\mathbf{p}x + \frac{\mathbf{p}^2 t}{2m})] \quad (26)$$

亦適合(1), (23)式 將(25), (26)兩式相加

$$\psi = \frac{1}{\sqrt{2}} (\psi_1 + \psi_2) = \sqrt{2} B \cos \frac{\mathbf{p}x}{\hbar} \exp[-\frac{i}{\hbar} \frac{\mathbf{p}^2 t}{2m}] \quad (27)$$

$$\text{此式之 } R = \sqrt{2} B \cos(\frac{\mathbf{p}x}{\hbar}) \quad S = -\frac{\mathbf{p}^2 t}{2m}$$

$$\text{代入(24)式則 } V_q = \frac{\mathbf{p}^2}{2m} \neq 0$$

可見 ψ 適合(1)式, 而不能適合(23)式, 即不合於重

疊原理。

因此, 我們必須認為兩者在本上質有很大的差異, 不可永遠認為古典力學, 必是量子力學的極限, 而給量子力學一個錯誤的估價。至於兩者的分界, 並不明顯, 我們可以

$$m_0 = (\frac{\hbar c}{\gamma})^{\frac{1}{2}} = 2.18 \times 10^{-5} \text{g}$$

(γ 為 Gravitational const. c , 光速)

作標準, 小於 m_0 時可用 Schrödinger 方程式, 大於則可用(20)式

最後, 我們應知道, 量子力學應用統計方法, 所得的結果, 的確能很完美地描述原子的國境, 然而在 10^{-13}cm 以下, 則又無法適合。Einstein, De Broglie 諸人, 就曾對量子力學感到不滿意, 他們認為, 即使在量子的尺寸, 仍應有某些力學變數, 能夠精確的決定每個質點的行徑, Bohm 假定在 10^{-13}cm 以下, 有某些隱變數 (hidden variable) 存在, 它能像古典力學 (但非全同) 的運動方程式一樣, 能準確預知質點的行踪, 量子力學的統計方法, 祇不過是由於實驗上的需要, 所做的假定, 並非表示沒有精確決定在量子大小內物質性質方法的存在。然而此說, 未受大家支持。

參考資料

1. Schiff: Quantum Mechanics 2nd, ed, 1955.
2. Eisberg: Fundamental of Modern Physics. 1961
3. Dicke & Wittke: Introduction to Quantum Mechanics. 1960
4. Nathan Rosen, Am. J. Phys. 32, 597 (1964)
5. David Bohm, Phys. Rev. 85, 166 (1952).
6. Goldstein: Classical Mechanics. Chap. 9,
7. P.A.M. Dirac: Principle of Quantum Mechanics.

狹義相對論淺說

劉源俊

初接受相對論的觀念時, 往往僅能够記憶一些數學公式, 而不能明瞭式中含有的深義。本文只就最簡單之概念加以分析, 一以補一般書籍之不足, 二以獻與新朋友們做禮物。

一、基本原理及假設

① 慣性系存在。即我們能找到一基準坐標系 (通常以三個相垂直的架子表之), 使不受外力作用的物體對於這基架或永遠靜止, 或永遠以等速依直線運動。若兩系以一定速度相對運動而其中一系是

慣性系, 則顯見另一系也必為慣性系。

註: 地球繞日公轉, 太陽系又在本銀河系中運動 (有移動也有繞本銀河系中心的轉動), 本銀河系又在宇宙中運行。我們無法說地表、太陽、或本銀河中心是在慣性系中。因此慣性系之存在實為想像中之事。